

凹形円曲線開水路(射流)の平均流速公式

高松高専 正会員 渡部儀三郎

1. まえがき

図-1に示すように、水路床の縦断曲線が凹形円曲線の開水路上の射流について、渡部¹⁾が実験的研究により、平均流速公式として次式を提案した。(図-1参照)

$$\begin{aligned} V_{mi} &= K_i \xi_i \sqrt{2g \{ E_i \pm S_i - h_i \cos(\theta_i - \varphi) \}} \\ &= K_i \xi_i \sqrt{2g (E_i - h_i \cos \theta_*)} \\ &= K_i \xi_i \sqrt{2g H_i} \end{aligned}$$

ここに V_{mi} : 断面Iの平均流速

K_i : 断面Iの平均流速補正係数

ξ_i : 断面Iの遠心力係数

h_i : 断面Iの半径方向の水深

渡部¹⁾の実験は、水路幅を40cm, 凹形円曲線開水路床の半径を25mm, 50mm, 75mm, 100mmおよび150mmとし、1型円曲線開水路($\theta_0 = 69^\circ 45' \sim 74^\circ 30'$)および2型円曲線開水路($\theta_0 = 91^\circ 15' \sim 93^\circ 30'$)を使用した。この研究により、凹形円曲線開水路の始点および終点における、平均流速補正係数 K_i ならびに、図-2に示す遠心力係数 ξ_i を求めた。

今回の実験は、凹形円曲線開水路床の半径を $R = 300\text{ mm}$ とし、中心角 $\theta_0 = 100^\circ$ および 115° 、水路幅

40cmの円曲線開水路を使用

した。この実験により、凹形円曲線開水路の始点、終点、および中間点の K_i を求めようとするものである。

2. 実験

図-3に示すように、斜水路の水平に対する傾斜角(円曲線開水路始点における接線の傾斜角)が、 $\varphi = 42^\circ 55'$ 、 $\varphi = 50^\circ 35'$ 、 $\varphi = 61^\circ 35'$ について実験した。

すなわち、 $\varphi = 42^\circ 55'$ 、 $Z_A = 38.33\text{ cm}$ 、単位水路幅当たりの流量 $g = 398\text{ cm}^3/\text{s}/\text{cm}$

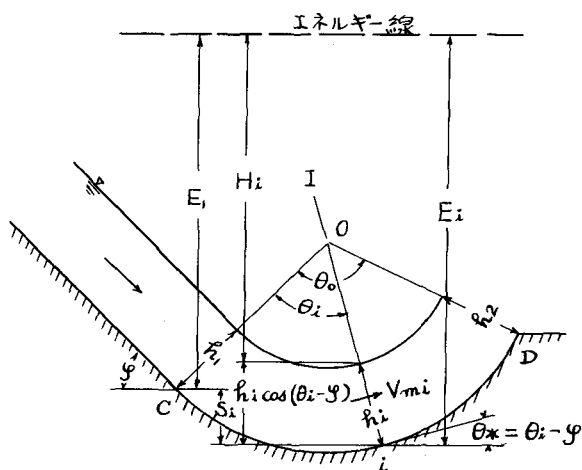


図-1

$\sim 1059 \text{ cm}^3/\text{s}/\text{cm}$ の 9 流量について実験した。また、 $\varphi = 50^\circ 35'$, $Z_A = 44.33 \text{ cm}$, $g = 398 \text{ cm}^3/\text{s}/\text{cm} \sim 1059 \text{ cm}^3/\text{s}/\text{cm}$ の 11 流量、ならびに $\varphi = 61^\circ 35'$, $Z_A = 51.91 \text{ cm}$, $g = 398 \text{ cm}^3/\text{s}/\text{cm} \sim 999 \text{ cm}^3/\text{s}/\text{cm}$ の 10 流量について実験した。

$\theta_i = 15^\circ, 30^\circ, 45^\circ, 60^\circ, 75^\circ, 90^\circ, 105^\circ$ などのように中間点 i_1 点～ i_7 点をとり、これらの点の水深 $h_{i1} \sim h_{i7}$ 点、および円曲線開水路の始点水深 h_1 、終点水深 h_2 を測定した。なお、円曲線開水路の始点 C 点と、中間点 i_1 点～ i_7 点および終点 D 点との、水路床の高さの差 S_i を測定した。

3. K_i

図-3において、A～C 間の損失水頭を無視すると、次式を得る。

$$E_1 = \frac{1}{2g} \left(\frac{\dot{V}}{h_A} \right)^2 + h_A + Z_A \quad \dots \dots \dots (2)$$

また、円曲線開水路上の任意の点の平均流速 V_{mi} は、次式で表わされる。

$$V_{mi} = \frac{\dot{V}}{h_i} \quad \dots \dots \dots (3)$$

C 点～ i 点間の平均水深を、 $h_o = (h_1 + h_i)/2$ とし、 h_o/R に対応する i 点の ξ_i を、図-2 から、求め得る。

式 (2), (3) より E_1 および V_{mi} を求め、また、図-2 から ξ_i も求まるので、式 (1) から K_i を求め得る。

すなわち、凹形円曲線開水路始点 C 点の K_1 、終点 D 点の K_2 、および、中間点 i_1 点～ i_7 点の $K_{i1} \sim K_{i7}$ を求めることができる。

4. むすび

すでに実験を終了しており、現在、 $K_1, K_2, K_{i1} \sim K_{i7}$ と h_o/R の関係について研究中である。

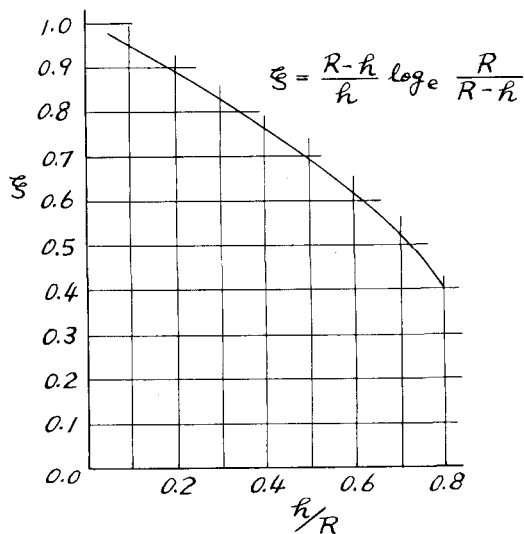


図-2

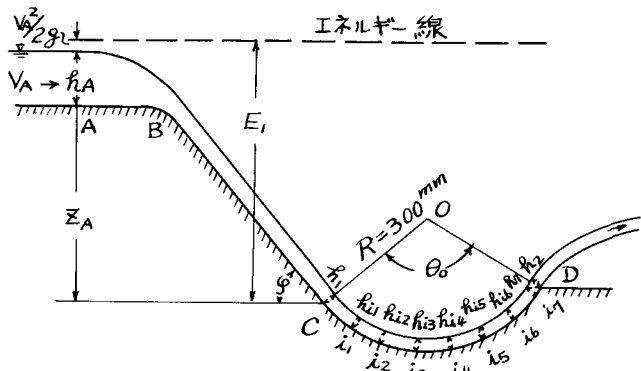


図-3